



تولید پارچه پنبه‌ای چند منظوره با استفاده از نانوکامپوزیت گرافن اکسید/تیتانیم دی‌اکسید

لقطان کریمی^{۱*}، محمد اسماعیل یزدانشناس^۲، رامین خواجه‌ی^۳، ابوسعید رشیدی^۱ و محمد میرجلیلی^۲

۱- دانشکده مهندسی نساجی، واحد علوم و تحقیقات، دانشگاه آزاد اسلامی، تهران، ایران

۲- دانشکده مهندسی نساجی، واحد یزد، دانشگاه آزاد اسلامی، یزد، ایران

۳- دانشکده مهندسی نساجی، واحد تهران جنوب، دانشگاه آزاد اسلامی، تهران، ایران

تاریخ ثبت اولیه: ۱۳۹۳/۰۷/۱۷، تاریخ دریافت نسخه اصلاح شده: ۱۳۹۳/۰۹/۰۲، تاریخ پذیرش قطعی: ۱۳۹۳/۱۰/۱۷

چکیده

در این پژوهش، روشی جدید برای تولید پارچه پنبه‌ای با ویژگی‌های چند منظوره همچون خود تمیزشوندگی، رسانش الکتریکی، مسدود کنندگی اشعه فرابنفش و ضدمیکروبی بررسی شده است. برای تولید نانوکامپوزیت از گرافن اکسید (GO) و پودر TiO_2 (P25) با استفاده از TiO_2/GO با استفاده از روش همزدن و حمام فراصلوت تهیه شده و برای حصول پارچه پنبه‌ای با ویژگی‌های چند منظوره استفاده شده است. تاثیر غلظت‌های متفاوت GO و TiO_2 بر خواص پارچه‌های تکمیلی بررسی شده است. شکل‌شناسی GO و نانوکامپوزیت TiO_2/GO با استفاده از میکروسکوپ الکترونی عبوری (TEM) انجام شده است. همچنین، شکل‌شناسی سطح پارچه بوسیله تصاویر میکروسکوپ الکترونی روبشی گسیل میدانی (FE-SEM) و ساختار شیمیایی آن به کمک طیف‌نگاری فوتوالکترونی اشعه ایکس (XPS) مطالعه شده است. تصاویر میکروسکوپی نشان داد، ذرات TiO_2 با اندازه متوسط $\sim 21\text{ nm}$ به سطح GO متصل شده‌اند. پارچه‌های پنبه‌ای عمل شده با نانوکامپوزیت TiO_2/GO فعالیت فتوکاتالیستی بالایی در تحریب محلول رنگینه متیلن‌بلو تحت تابش نور خورشید نشان دادند. همچنین، فعالیت ضدمیکروبی پارچه‌های تکمیل شده به کمک یک باکتری گرم مثبت *Staphylococcus aureus* و یک باکتری گرم منفی *Escherichia coli* بررسی و تایید شده است. نتایج نشان دادند که تابش نور خورشید سبب احیای فتوکاتالیستی GO و بهبود رسانش الکتریکی پارچه‌های تکمیلی با نانوکامپوزیت TiO_2/GO شده است. افزون بر این، خاصیت ممانعتی در برابر اشعه فرابنفش پارچه‌های تکمیل شده تایید شده است.

واژه‌های کلیدی: نانوکامپوزیت GO/ TiO_2 ، پنبه، خود تمیزشوندگی، رسانش الکتریکی، ضدمیکروبی.

۱- مقدمه

فتوكاتاليسٰتى بالا، ثبات شيميايى و غيرسمى بودن از تيانيا به عنوان فتكاتاليسٰت رايچ استفاده مى شود [۸,۹]. ويزگى‌های جدید و ارتقاء يافته‌های در منسوجات عمل‌آوري شده با نانوذرات TiO_2 ايجاد مى شود. برای نمونه، منظر و سيفالهزاده با بكارگيرى تيانيا پارچه پلى استر/پشم با ويزگى‌های خود تمیزشوندگی و ضدمیکروبی توليد كردند

امروزه استفاده از نانومواد با خاصیت فتكاتاليسٰت همچون ZnO [۱,۲]، TiO_2 [۳,۴]، $SrTiO_3$ [۵,۶] و ZrO_2 [۷] در فرآوري كالاهای نساجی بسيار مورد توجه است. به علت ويزگى‌های نوری و الکتریکی، قيمت پايين، فعالیت

* عهددار مکاتبات: لقطان کریمی

نشانی: تهران، دانشگاه آزاد اسلامی، واحد علوم و تحقیقات، دانشکده نساجی
تلفن: ۰۲۱-۸۸۰۰۹۶۱۱، دورنگار: ۰۲۱-۷۷۷۰۵۲۰۲، پست الکترونيکي: l.karimi@srbiau.ac.ir

میزان رسانش و بهترین خواص مکانیکی برخوردار است [۲۴]. در مطالعه‌ای دیگر، Javed و همکارانش از تابش اشعه فرابنفش جهت احیای GO و تولید پارچه رسانا استفاده کردند [۲۵]. Qu و همکاران با بکارگیری گرافن پارچه پنبه‌ای با ویژگی مسدود کنندگی اشعه فرابنفش تولید کردند [۲۶]. در تحقیقی دیگر، Zhao و همکاران پارچه پنبه‌ای را با GO پوشش داده و خواص ضدمیکروبی عالی را گزارش کردند [۲۷]. همچنین، کبیری و همکارش ویژگی‌های مکانیکی استات سلولز را با استفاده از GO بهبود داده‌اند [۲۸]. یک روش مشخص برای بهره‌گیری همزمان از ویژگی‌های ممتاز گرافن و تیتانیم دی‌اسید، هیبرید کردن این دو نانوماده می‌باشد. حالیت پایین گرافن در آب و حلال‌های قطبی، نشاندن نانوذار را بر روی سطح آن مشکل می‌کند. GO به سبب دارا بودن گروه‌های اکسیژنی برای تولید کامپوزیت و اتصال ذرات تیتانیم دی‌اسید در فاز مایع استفاده می‌شود [۲۹،۳۰]. پژوهش‌هایی در مورد پوشش دادن منسوجات با نانوکامپوزیت‌های ترکیبات کربنی-تیتانیم دی‌اسید همچون دوده TiO_2 /GO [۳۱]، گرافن TiO_2 /GO [۳۲] و کربن نانوتیوب‌ها TiO_2 /GO [۳۳،۳۴] انجام شده است. ولی TiO_2 /GO پوشش دهنده پارچه پنبه‌ای با نانوکامپوزیت GO گزارش نشده است. در این مطالعه، پارچه‌های پنبه‌ای با نانوکامپوزیت GO TiO_2 /GO عمل شده و خواص فتوکاتالیستی، رسانش الکتریکی، ممانعتی در برابر اشعه فرابنفش و ضدمیکروبی آنها بررسی شده است. همچنین، تاثیر همافزایی GO و TiO_2 بر این خواص و دیگر ویژگی‌های پارچه مطالعه شده است.

۲- فعالیت‌های تجربی

۱- مواد

پارچه تاری-پودی پنبه‌ای ۱۰۰٪ سفیدگری شده با تراکم تار و پود ۳۰ و ۲۸ نخ در سانتیمتر و وزن 102 g/m^2 از شرکت یزد باف تهیه شد. پودر گرافیت از شرکت Degussa Sigma Aldrich و نانوذارات TiO_2 از شرکت Degussa و Sigma Aldrich ایجاد شد. هیدروکلریک اسید تهیه شدند. هیدروژن پراکسید (۰/۳۰٪)، هیدروکلریک اسید (۰/۹۸٪) و پتاسیم پرمونگات از

[۱۰]. در تحقیقی دیگر، خواجه‌ی و برنج‌چی با استفاده از اسیدهای کربوکسیلیک و نانوذارات TiO_2 پارچه پنبه‌ای با ویژگی خود تمیزشوندگی تولید کردند [۱۱]. همچنین، بهزادنیا و همکاران تولید پارچه پشمی با ویژگی‌های خود تمیزشوندگی، آبدوستی، ضدمیکروبی و ضدقارچی بدون سمیت سلولی را گزارش کردند [۱۲،۱۳]. افرون بر این، برخی مطالعات امکان ایجاد منسوجات ضدآتش با بکارگیری نانوتیتانیم دی‌اسید را بررسی نموده‌اند [۱۴،۱۵]. پیشرفت‌های نانوتکنولوژی در علم مواد راه‌های جدیدی برای پیشرفت در تولید منسوجات چند منظوره باز نموده است. گرافن، یک تک لایه از آنمهای کربن با اتصال sp^2 به شکل شبکه شش ضلعی (لانه زنبوری) دو بعدی می‌باشد. این ماده دارای ویژگی‌های ممتازی همچون جابجایی شارژ بالا ($23000\text{ cm}^2/\text{VS}$)، مقاومت الکتریکی پایین ($10^{-9}\Omega\cdot\text{cm}$)، رسانش حرارتی عالی (بین $10000-5000\text{ W/mK}$) و خواص مکانیکی عالی (مدول یانگ ۱ TPa و استحکام 130 GPa) می‌باشد. همچنین، گرافن دارای پایداری و مقاومت شیمیایی و مکانیکی بسیار بالایی می‌باشد و مساحت سطحی تئوری آن $2600\text{ m}^2/\text{g}$ محاسبه شده است [۱۶،۱۷]. یکی از مهمترین مشتقات گرافن، گرافن اسید است. گرافن اسید، یک تک لایه از گرافیت دارای گروه‌های اپوکسی، هیدروکسیل و کربوکسیل می‌باشد [۱۸،۱۹]. اخیراً، مطالعات زیادی بر استفاده از گرافن یا GO در تکمیل منسوجات متمنکز شده‌اند. برای نمونه، برخی محققان سطح منسوجات را با گرافن پوشش داده و منسوجات با ویژگی رسانش الکتریکی بالا حاصل شده است [۲۰-۲۵]. و همکارانش از GO به عنوان رنگزا استفاده کرده و پارچه اکریلیکی رسانای الکتریکی با احیای شیمیایی GO تولید کردند [۲۰]. در مطالعه‌ای مشابه، Molina و همکارانش تولید پارچه پلیاستر رسانای الکتریکی را گزارش نمودند [۲۱،۲۲]. اخیراً، شاطری و یزدانشناس پارچه پنبه‌ای ابرآبگریز و رسانای الکتریکی با استفاده از گرافن و پلی‌متیل سیلوکسان تولید کردند [۲۳]. همچنین، تاثیر احیای شیمیایی را بر روی رسانش الکتریکی پارچه پنبه‌ای پوشش داده شده با GO بررسی کردن و گزارش نمودند که پارچه احیاء شده با سدیم هیدروسولفید، از بالاترین

متفاوتی از GO و TiO_2 به آب مقطر اضافه شده و به مدت ۶۰ min در حمام فراصوت با دمای ۵۰ °C قرار داده شدند. در مرحله بعد، نمونه‌های پنجه‌ای در محلول تعلیقی ایجاد شده به مدت ۶۰ min در دمای ۸۰ °C به روش غوطه‌وری عمل آوری شده و در دمای ۱۰۰ به مدت ۱۵ min پخت شدند. ترکیب درصد حمام‌ها با مقداری متفاوتی از GO و TiO_2 در جدول ۱ آمده است.

جدول ۱: ترکیب درصد حمام‌های عمل آوری برای نمونه‌های مختلف با مقداری متفاوت GO و TiO_2 .

بازدۀ فتوکاتالیستی (%)	درصد وزنی نانومواد		نمونه‌ها
	GO	TiO_2	
۴/۲	صفرا	صفرا	۱
۱۰/۲	صفرا	۰/۱	۲
۳۱/۵۵	صفرا	۰/۵	۳
۴۵/۵۵	صفرا	۱	۴
۸/۳۸	۰/۰۴	صفرا	۵
۱۷/۱۲	۰/۰۴	۰/۱	۶
۵۵/۵۹	۰/۰۴	۰/۵	۷
۶۶/۴۷	۰/۰۴	۱	۸
۱۰/۹۴	۰/۰۸	صفرا	۹
۲۲/۴۴	۰/۰۸	۰/۱	۱۰
۶۴/۲۳	۰/۰۸	۰/۵	۱۱
۷۷/۲۳	۰/۰۸	۱	۱۲
۱۲/۲۲	۰/۱۲	صفرا	۱۳
۲۵/۴۳	۰/۱۲	۰/۱	۱۴
۷۰/۱۴	۰/۱۲	۰/۵	۱۵
۸۳/۴۳	۰/۱۲	۱	۱۶
۱۳/۵۱	۰/۲	صفرا	۱۷
۳۰/۱۱	۰/۲	۰/۱	۱۸
۷۵/۰۲	۰/۲	۰/۵	۱۹
۸۶/۱۲	۰/۲	۱	۲۰
۱۶/۸۳	۰/۴	صفرا	۲۱
۳۳/۷۷	۰/۴	۰/۱	۲۲
۷۹/۸۵	۰/۴	۰/۵	۲۳
۸۹/۸۷	۰/۴	۱	۲۴

۳-۳-۲- بررسی بازدۀ فتوکاتالیستی

فعالیت فتوکاتالیستی پارچه‌های پنجه‌ای به کمک رنگبری از محلول رنگینه متیلن‌بلو زیر تابش نور خورشید ارزیابی شد. جذب محلول‌های رنگبری شده در طول موج بیشینه

شرکت Merck و رنگینه متیلن‌بلو از شرکت Uhaoo چین استفاده شدند.

۲-۲- دستگاه‌ها

میکروسکوپ الکترونی روبشی گسیل میدانی (FE-SEM) مدل MIRA3 ساخت شرکت Tescan برای شکل‌شناسی سطحی نمونه‌ها و انجام آزمون‌های عنصریابی، میکروسکوپ الکترونی عبوری مدل EM208 از شرکت Phillips برای شکل‌شناسی GO و کامپوزیت TiO_2/GO دستگاه پراش پرتو X مدل D8 شرکت Bruker برای بررسی بلورهای آکسید تیتانیم، دستگاه BesTec برای بررسی ساختار شیمیایی نمونه‌ها بکار گرفته شده است. مقاومت الکتریکی پارچه‌ها طبق استاندارد AATCC 76-2005 با استفاده از مولتی‌متر مدل 3256-50 شرکت Hioki Digital HiTester ژاپن بررسی شد. طیف نورسنج UV-Vis عبوری مدل 35 شرکت Perkin-Elmer برای بررسی توانایی پارچه‌ها در مسدود کردن اشعه فرابنفش بکار گرفته شد.

۳-۲- روش‌ها

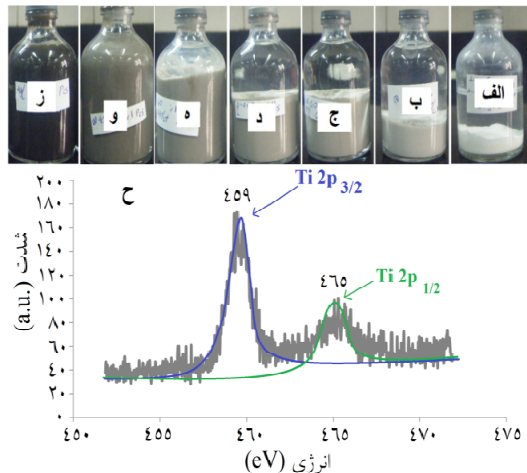
۱-۳-۲- سنتز GO

برای مبنای روش [۳۵]، ابتدا ۲ g گرافیت به ۵۰ ml سولفوریک اسید اضافه شد و به مدت ۲۴ ساعت در دمای محیط همzedه شد. سپس، ۷ g پاتسیم پرمنگنات در حمام یخ با دمای زیر ۱۰ °C به محلول اضافه شد و به مدت ۱۲۰ min در دمای ۵۰ °C همzedه شد. آنگاه، ۱۴۰ ml آب مقطر و ۱۰ ml هیدرزن پراکسید به محلول اضافه شده و به مدت ۳۰ min همzedه شد. محصول جداسازی شده و یک مرتبه با هیدروکلریدریک اسید و ۳ مرتبه با آب مقطر شستشو داده شد. گرافیت اسید حاصله در حمام فراصوت به مدت ۶۰ min در دمای ۵۰ °C لایه لایه شده و با استفاده از روش خشک کردن انجامدی پودر GO حاصل شد.

۲-۳-۲- سنتز نانوکامپوزیت TiO_2/GO

نانوکامپوزیت TiO_2/GO با استفاده از روش اختلاط در حمام فراصوت تهیه شد، بدین صورت که غلظت‌های

TiO_2 و GO با استفاده از طیفنگاری فتوالکترونی اشعه ایکس بررسی شد (شکل ۱-ح). در طیف حاصل از طیفنگاری فتوالکترونی اشعه ایکس ($\text{Ti} 2\text{p}$), دو پیک در نواحی 459 و 465 eV مشاهده شد که حالت نرمال TiO_2 در نانوکامپوزیت TiO_2/GO را تایید می‌کند. همچنین، هیچ پیکی مطابق با تشکیل پیوندهای Ti-O-C و Ti-C از GO از مشاهده نشد. بنابراین، برهمکنش نانوذرات TiO_2 و GO از طریق پیوند الکترواستاتیک، جذب سطحی و یا پیوند هیدروژنی انجام شده است [۲۹, ۳۸].



شکل ۱: تصاویر محلول‌های تعليقی GO ، TiO_2 و نانوکامپوزیت TiO_2/GO یک هفته پس از فراصوتدهی: (الف) 1% TiO_2/GO (ب) 1% GO $0\%/\text{TiO}_2$ (ج) 1% GO $0\%/\text{TiO}_2$ (د) 1% GO $0\%/\text{TiO}_2$ (ه) 1% GO $0\%/\text{TiO}_2$ (و) 1% GO $0\%/\text{TiO}_2$ (ز) $0\%/\text{GO}$ و (ح) طیف XPS نانوکامپوزیت GO/TiO_2

شکل ۲ تصاویر TEM گرافن اکسید و نانوکامپوزیت TiO_2/GO را نشان می‌دهد. ملاحظه می‌شود که GO دارای ساختاری ورقه‌ای و پولک مانند است (شکل ۲-الف). پس از بکارگیری نانوذرات تیتانیم دی‌اکسید، سطح GO با نانوذرات بارگذاری شده است (شکل ۲-ب). همانگونه که از تصویر مشخص است، GO به صورت متراکم بوسیله نانوذرات TiO_2 پوشش داده شده و نانوذرات TiO_2 به خوبی به GO متصل شده‌اند. بررسی ساختار سطحی الیاف توسط میکروسکوپ الکترونی روبشی گسیل میدانی انجام شده است. در نمونه عمل شده با تیتانیم دی‌اکسید (شکل ۳-ب)، وجود نانوذرات TiO_2 در سطح الیاف واضح است.

بوسیله طیف نورسنج UV-Vis انتقالی 300 Cary، ساخت استرالیا اندازه‌گیری شده است. پارچه‌های پنبه‌ای $(4 \times 6 \text{ cm}^2)$ به محلول رنگینه متیلن بلو (10 mg/l) اضافه شد. سپس، محلول به همراه نمونه‌ها به مدت ۴ روز زیر تابش نور خورشید (تهران، مرداد ماه) نوردهی شد. پس از نوردهی، مقادیر بازده فتوکاتالیستی [۳۶] به کمک معادله ۱ محاسبه شد:

$$(1) (\%) = \frac{(C_0 - C_e)}{C_0} \times 100$$

در این معادله C_0 و C_e به ترتیب غلظت اولیه و غلظت ثانویه رنگینه در محلول هستند.

۴-۳-۲- فعالیت ضدبیکروبی

فعالیت ضدبیکروبی نمونه‌ها با استفاده از باکتری گرم مثبت *Staphylococcus aureus* و باکتری گرم منفی *Escherichia coli* AATCC 100-2004 به روش استاندارد آریزیابی شد [۳۷]. درصد کاهش باکتری با استفاده از معادله ۲ بدست آمده است:

$$(2) (R)\% = \frac{(A-B)}{A} \times 100$$

در این معادله A تعداد کلونی‌های اولیه تعیق (شاهد)، B تعداد کلونی‌های ثانویه (محلول مجاور شده با کالا) و R درصد کاهش باکتری است.

۳- نتایج و بحث

۱-۳- مشخصه‌هایی

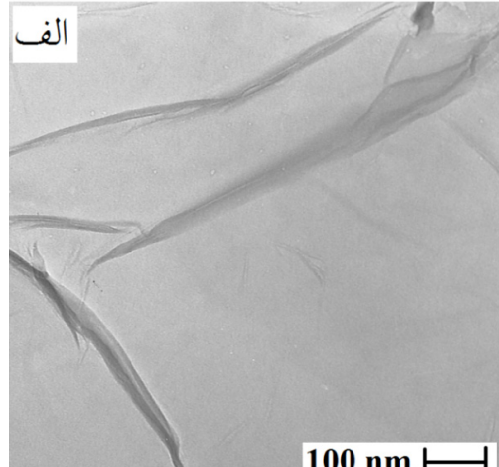
تصاویر مربوط به محلول‌های تعليقی GO ، TiO_2 و نانوکامپوزیت TiO_2/GO یک هفته پس از فراصوتدهی در شکل ۱ (الف-ز) نشان داده شده است. زمانی که GO به محلول تعليقی TiO_2 اضافه شد، رنگ محلول از سفید به قهوه‌ای تغییر یافت. محلول تعليقی نانوکامپوزیت TiO_2/GO با $0\%/\text{wt}$ TiO_2 بطور کامل پایدار بود و هیچ تنه‌شینی پس از یک هفته مشاهده نشد (شکل ۱-و). بنابراین، صفحه‌های GO به عنوان یک پایدار کننده برای نانوذرات TiO_2 عمل می‌کنند. برهمکنش بین نانوذرات

نانوکامپوزیت توزیع یکنواخت و متراکم نانوذرات TiO_2 را در سطح الیاف نشان می‌دهد (شکل ۴-ب). در شکل ۵ الگوهای XRD پارچه پنبه‌ای خام و نیز عمل شده با گرافن اکسید و نانوکامپوزیت TiO_2/GO نشان داده شده است. در الگوها دو زاویه پراش در ۱۵ و ۲۲ درجه مشاهده می‌شود، که ناشی از وجود سلولز در نمونه‌ها می‌باشد. در نمونه پوشش داده شده با نانوکامپوزیت TiO_2/GO ، پیک‌های موجود در زوایای $\frac{1}{3}$ ، $\frac{2}{3}$ ، $\frac{2}{5}$ و $\frac{3}{8}$ در زوایای $\frac{4}{4}$ ، $\frac{4}{4}$ و $\frac{6}{4}$ و زاویه $\frac{7}{8}$ درجه به ترتیب مربوط به فازهای آناتاز و روتاپل تیتانیم دی‌اکسید می‌باشند. هیچ پیکی مطابق با گرافن اکسید در ۱۰/۵ درجه مشاهده نشد، که این امر را می‌توان به لایه لایه شدن کامل گرافن اکسید و پوشش یکنواخت آن بر روی سطح پنبه نسبت داد.

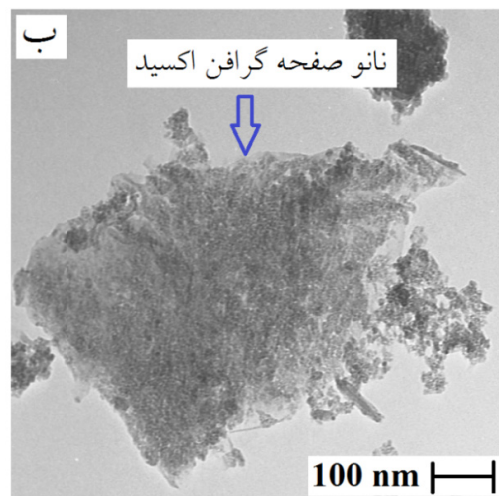
۳-۲- تجزیه فتوکاتالیستی متیلن‌بلو

فعالیت فتوکاتالیستی نمونه‌ها با تخریب فتوکاتالیستی متیلن‌بلو تحت تابش نور خورشید ارزیابی شد. نتایج بازده GO و TiO_2 در جدول ۱ آمده است. نتایج نشان می‌دهد که تغییر غلظت متیلن‌بلو در تماس با پنبه خام ناچیز بوده است (نمونه ۱). همچنین، جذب متیلن‌بلو توسط گرافن اکسید باعث کاهش غلظت متیلن‌بلو در حمام حاوی پارچه‌های عمل شده با گرافن اکسید می‌شود (نمونه‌های ۵، ۹، ۱۳ و ۲۱) [۳۹]. بنابراین، پارچه پنبه‌ای خام و عمل شده با گرافن اکسید فعالیت فتوکاتالیستی از خود نشان ندادند. پارچه‌های عمل شده با TiO_2 (نمونه‌های ۲، ۳ و ۴) بازده فتوکاتالیستی بالاتری را نشان می‌دهند، که علت آن می‌تواند مربوط به تولید رادیکال‌های واکنشی بوسیله TiO_2 در معرض نور و تخریب رنگینه باشد [۴۰]. همانطور که در شکل ۶ مشخص است، با اضافه شدن گرافن اکسید به TiO_2 میزان فتوکاتالیستی پارچه‌ها افزایش یافته است. نقش GO در بهبود فتوکاتالیستی را می‌توان بر اساس سازوکارهای زیر توضیح داد:

- ۱- افزایش ظرفیت جذب فتوکاتالیست: مساحت سطحی بالای GO باعث جذب سطحی بهتر متیلن‌بلو بوسیله فتوکاتالیست می‌شود [۳۰، ۳۹].



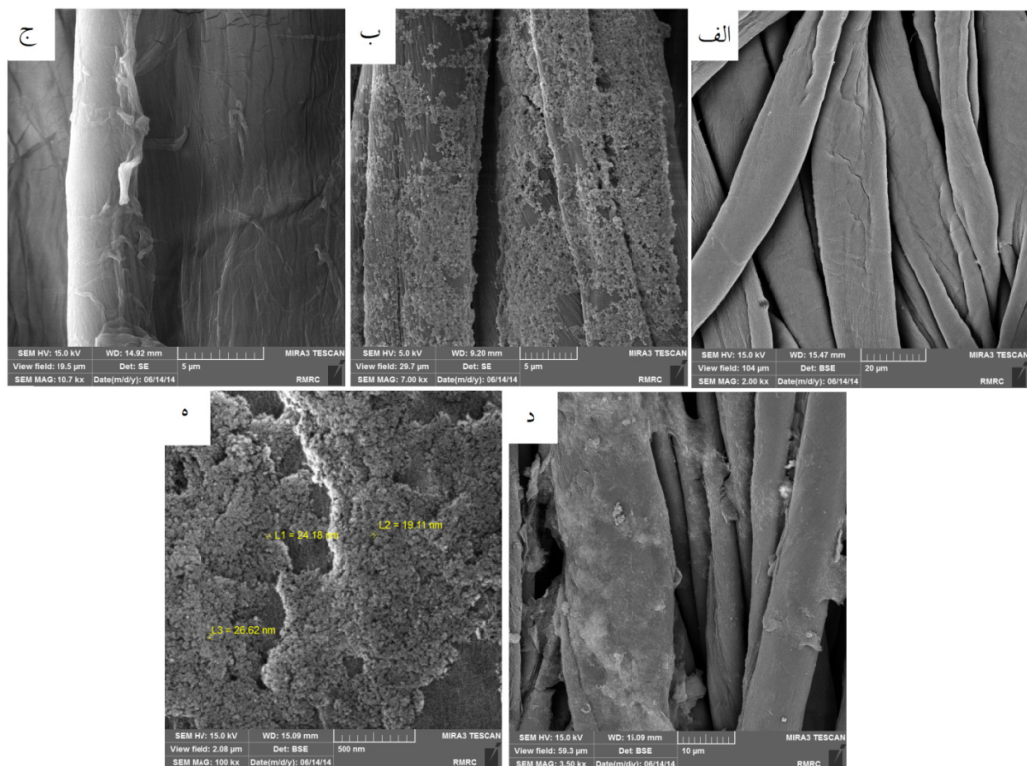
(الف)



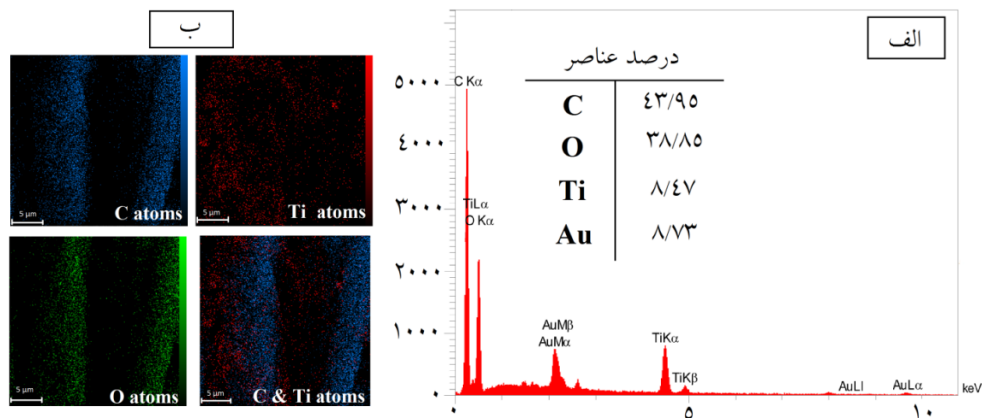
(ب)

شکل ۲: تصاویر TEM. (الف) GO و (ب) نانوکامپوزیت TiO_2/GO

برجستگی‌هایی در سطح نمونه عمل شده با GO ایجاد شده (شکل ۳-ج)، که حضور نانو صفحه‌های GO را در سطح الیاف پنبه تایید می‌کند. در تصاویر FE-SEM TiO_2/GO (شکل ۳-د و ۵) عمل شده با نانوکامپوزیت TiO_2/GO نمونه مشاهده می‌شود، سطح الیاف به خوبی با نانوکامپوزیت پوشانده شده است. الگوی طیف به وجود عناصر کربن، اکسیژن و تیتانیم را روی کالا تایید می‌کند. نسبت عناصر به شکل درصد وزنی گزارش شده است که نشان از وجود مقدار قابل ملاحظه تیتانیم روی کالا دارد (شکل ۴-الف). همچنین، تصاویر نقشه X-ray نمونه عمل شده با



شکل ۳: تصاویر FE-SEM پارچه‌های بنیه‌ای، (الف) خام، (ب) عمل آوری شده با . TiO_2
ج) عمل آوری شده با GO و (د،ه) عمل آوری شده با نانوکامپوزیت . TiO_2/GO



شکل ۴: طیف EDS. (الف) تصاویر نقشه X-ray و (ب) پارچه بنیه‌ای عمل شده با نانوکامپوزیت . TiO_2/GO

۳- جلوگیری از جفت شدن سریع الکترون‌ها و حفره‌ها: زمانیکه نیمه‌رسانایی مانند TiO_2 فتوونی با انرژی مساوی یا بالاتر از عرض لایه شکاف جذب کند، الکtron از لایه ظرفیت به لایه رسانایی رفته و تهییج الکترون (حفره) در نوار ظرفیت بوجود می‌آید. جفت شدن سریع الکترون‌ها

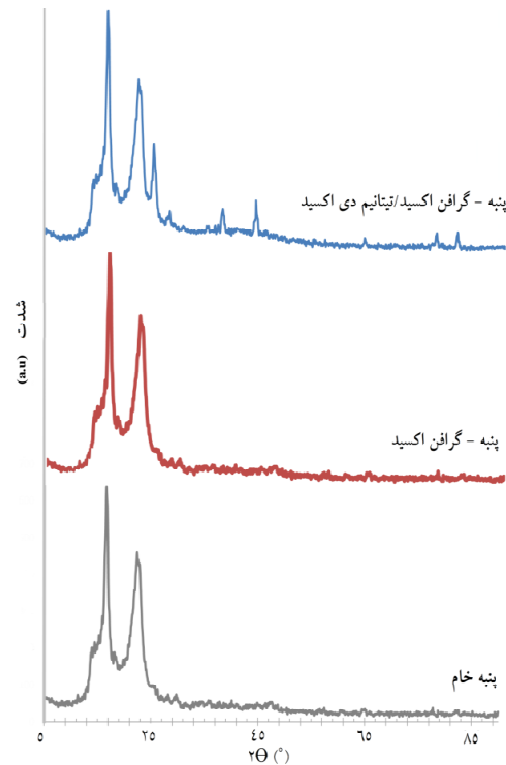
۲- افزایش محدوده جذب نور: بالاتر بودن فعالیت فتوکاتالیستی نمونه‌های عمل آوری شده با کامپوزیت در مقایسه با نمونه‌های عمل آوری شده با نانو TiO_2 تحت تابش نور خورشید را می‌توان به نقش GO به عنوان یک حساس‌کننده نوری مرتبط دانست [۴۱].

۳-۳- رسانش الکتریکی پس از احیای فتوکاتالیستی تغییرات مقاومت الکتریکی نمونه‌های عمل آوری شده با گرافن اکسید و نانوکامپوزیت TiO_2/GO قبل و پس از تابش نور خورشید در جدول ۲ گزارش شده است. مشاهده شد که پارچه‌های عمل آوری شده با GO (نمونه‌های ۱۷ و ۲۱) و نانوکامپوزیت TiO_2/GO (نمونه‌های ۱۹، ۲۰، ۲۳، ۲۰ و ۲۴) رسانش الکتریکی ندارند. پس از تابش نور خورشید، مقاومت الکتریکی پارچه‌های عمل آوری شده با نانوکامپوزیت TiO_2/GO کاهش یافت و یا به عبارتی دیگر رسانش الکتریکی آنها افزایش یافت. رنگ قهوه‌ای پارچه پنبه‌ای پوشش داده شده با نانوکامپوزیت، پس از تابش نور خورشید به خاکستری تغییر یافت. علت این امر را می‌توان به تحریک نوری الکترون‌های TiO_2 و احیای گروه‌های اکسیژنی GO بوسیله آنها مرتبط دانست [۴۴]. همچنین مشاهده شد که با افزایش زمان تابش نور، میزان رسانش پارچه‌ها افزایش می‌یابد که این پدیده نشان دهنده احیای بیشتر و بیشتر GO توسط TiO_2 است. احیای گروه‌های اکسیژنی GO بوسیله نانوذرات TiO_2 پس از تابش نور با استفاده از XPS (C 1s) پارچه بررسی شد. شکل ۷ طیف‌های XPS (C 1s) پارچه عمل آوری شده با نانوکامپوزیت TiO_2/GO (نمونه ۲۴) را پیش و پس از تابش نور خورشید نشان می‌دهد. قبل از تابش نور خورشید چهار پیک در نواحی C-C (۲۸۴/۸ eV)، C-OH (۲۸۶/۱ eV)، C-O (۲۸۷/۳ eV) و O=C-OH (۲۸۸/۹ eV) مشاهده می‌شود. همچنان که در شکل ۷-ب مشخص است، پس از تابش نور خورشید شدت پیک‌ها بسیار ضعیف شده است که این امر احیای مؤثر گروه‌های اکسیژنی GO را تایید می‌کند.

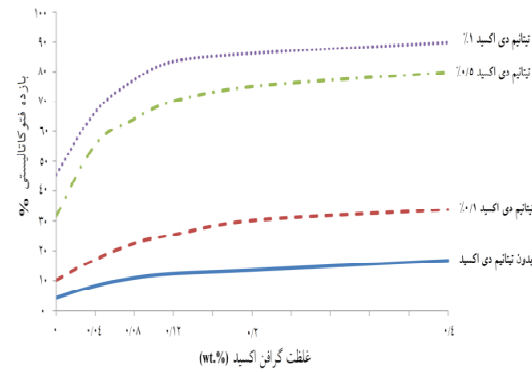
جدول ۳: مقاومت الکتریکی پارچه‌های پنبه‌ای عمل آوری شده.

مقاومت الکتریکی پیش و پس از تابش نور خورشید (Ω/square)					نمونه‌ها
سه روز	دو روز	یک روز	قبل از تابش		
1×10^9	1×10^9	1×10^9	2×10^9		نمونه ۱۷
$10/7 \times 10^6$	$11/4 \times 10^6$	$13/5 \times 10^6$	2×10^9		نمونه ۱۹
$4/2 \times 10^6$	$4/7 \times 10^6$	$6/9 \times 10^6$	2×10^9		نمونه ۲۰
1×10^9	1×10^9	1×10^9	2×10^9		نمونه ۲۱
$3/2 \times 10^6$	4×10^6	$6/5 \times 10^6$	2×10^9		نمونه ۲۳
$20/3 \times 10^3$	$0/1 \times 10^6$	$3/6 \times 10^6$	2×10^9		نمونه ۲۴

منفی و حفره‌های مثبت در لایه والنس باعث کاهش کارایی فتوکاتالیستی تیتانیا می‌شود. زمان جفت شدن الکترون و حفره 10^{-9} ثانیه است در حالیکه مقیاس زمانی برای برهمنکنش TiO_2 با رنگ و یا مواد شیمیایی کندتر و در محدوده 10^{-8} - 10^{-3} ثانیه است [۴۲]. گرافن اکسید به عنوان یک پذیرنده الکترون عمل کرده و زمان ماندگاری الکترون‌ها و حفره‌های ایجاد شده را افزایش می‌دهد [۴۳].



شکل ۵: الگوهای XRD پارچه‌های پنبه‌ای خام و عمل شده.



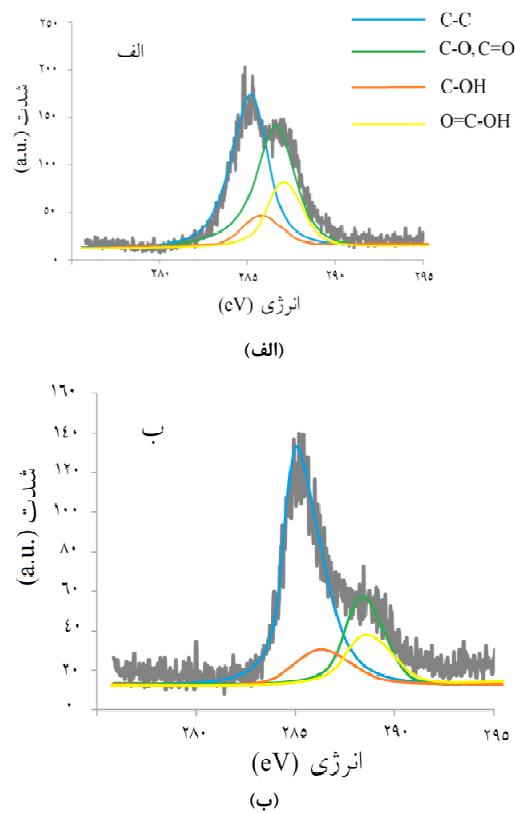
شکل ۶: روند تغییرات میزان بازده فتوکاتالیستی با غلظت گرافن اکسید.

S. aureus نسبت به باکتری گرم مثبت E. coli نسبت به باکتری گرم بالاتر است. علت این امر بیشتر بودن ضخامت دیواره سلولی S. aureus نسبت به E. coli می‌باشد که سبب پایداری بیشتر آن شده است. همچنین، کاربرد نانوکامپوزیت TiO₂/GO اثر ضدمیکروبی بهتری نسبت به کاربرد TiO₂ در پوشش دهی پارچه پنبه‌ای نشان داده است. بنابراین، اضافه شدن GO به TiO₂ تجزیه باکتری‌ها را نیز تسهیل می‌کند، علت این امر را می‌توان به افزایش تماس بین باکتری‌ها و TiO₂ بواسطه حضور GO با مساحت سطحی بالا نسبت داد. تجزیه باکتری‌ها بوسیله نانوکامپوزیت می‌تواند بر اثر تخریب غشای، دیواره و آنزیم‌های باکتری‌ها انجام شود [۴۶].

جدول ۳: مقدار درصد کاهش میکروب‌ها در مجاورت با نمونه‌های پنبه‌ای.

درصد کاهش میکروب		نمونه‌ها
Staphylococcus aureus	Escherichia coli	
صفر	صفر	پنبه خام (نمونه ۱)
۲۲	۳۲	پنبه عمل آوری شده با TiO ₂ (نمونه ۴)
صفر	۱۲	پنبه عمل آوری شده با GO (نمونه ۱۷)
۹۹	۹۹	نانوکامپوزیت (نمونه ۲۰)

۳-۵- خاصیت ممانعتی در برابر اشعه فرابنفش تابش اشعه فرابنفش (UV) سبب تغییراتی حاد در پوست انسان همچون التهاب، پیری و حتی سرطان می‌شود. افزون بر این، اشعه فرابنفش به منسوجات، سطوح و پوشش‌ها آسیب می‌رساند [۲۶]. بنابراین، تولید منسوجات با خاصیت ممانعتی در برابر اشعه فرابنفش بسیار مورد توجه است. شکل ۸ طیف‌های عبوری UV برای پارچه‌های پنبه‌ای خام و عمل آوری شده با نانوکامپوزیت TiO₂/GO را نشان می‌دهد. درصد بالایی از اشعه فرابنفش از پارچه‌های خام عبور می‌کند. درصد عبور اشعه فرابنفش پارچه‌های پنبه‌ای عمل آوری شده با نانوکامپوزیت TiO₂/GO در مقایسه با پارچه‌های خام بسیار پایین‌تر است. بنابراین، پارچه‌های پنبه‌ای عمل آوری شده با نانوکامپوزیت دارای خاصیت ممانعتی در برابر اشعه فرابنفش می‌باشد،



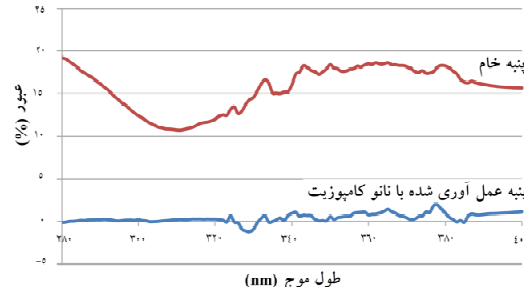
شکل ۷: طیف‌های XPS (C 1s) پارچه عمل آوری شده با TiO₂/GO
الف) پیش از تابش نور خورشید و ب) پس از تابش نور خورشید.

۴-۳- خاصیت ضدمیکروبی

شیوع بیماری‌های مختلف بوسیله باکتری‌های بیماری‌زا و مقاوم شدن آنها در برابر آنتی‌بیوتیک‌ها، محققان را وادار به جستجوی روش‌های بهداشتی و ایمن جهت تولید محصولات مناسب برای بهزیستی انسان‌ها کرده است. با ظهور نانوفناوری در قرن حاضر، از نانوموادی همچون نقره، طلا، روی، مس و تیتانیم به عنوان عوامل ضدمیکروب استفاده می‌شود. در این تحقیق، کارایی ضدمیکروبی نمونه‌های پنبه‌ای در کاهش دو گونه رایج باکتری گرم مثبت S. aureus منشأ عفونت‌های چشمی، پوستی، استخوان و مفاصل و باکتری گرم منفی E. coli منشأ عفونت‌های ادراری، بیمارستانی و خون مورد بررسی قرار گرفت [۴۵، ۴۶]. نتایج کمی آزمون ضدمیکروبی نمونه‌ها در جدول ۳ گزارش شده است. پارچه‌های پنبه‌ای خام و عمل آوری شده با GO خاصیت ضدمیکروبی نداشتند. در نمونه‌های عمل شده با GO، درصد کاهش باکتری گرم

- [4] A. Nazari, M. Montazer, M. Dehghani-Zahedani, *Journal of Industrial and Engineering Chemistry*, **20**, 2014, 4207.
- [5] S. Zohoori, L. Karimi, *Fibers and Polymers*, **14**, 2013, 996.
- [6] S. Zohoori, L. Karimi, A. Nazari, *Fibres and Textiles in Eastern Europe*, **22**, 2014, 91.
- [7] M.P. Gashti, A. Almasian, *Composites Part B: Engineering*, **52**, 2013, 340.
- [8] T. Ochiai, A. Fujishima, *Journal of Photochemistry and Photobiology C: Photochemistry Reviews*, **13**, 2012, 247.
- [9] A. Fujishima, X. Zhang, D.A. Tryk, *Surface Science Reports*, **63**, 2008, 515.
- [10] M. Montazer, S. Seifollahzadeh, *Photochememistry Photobiology*, **87**, 2011, 877.
- [11] R. Khajavi, A. Berendjchi, *ACS Applied Materials and Interfaces*, **6**, 2014, 18795.
- [12] A. Behzadnia, M. Montazer, A. Rashidi, M.M. Rad, *Ultrasonics Sonochemistry*, **21**, 2014, 1815.
- [13] A. Behzadnia, M. Montazer, A. Rashidi, M.M. Rad, *Photochememistry Photobiology*, **90**, 2014, 1224.
- [14] F. Lessan, M. Montazer, M.B. Moghadam, *Thermochimica Acta*, **520**, 2011, 48.
- [15] S. Hashemikia, M. Montazer, *Applied Catalysis A: General*, **417**, 2012, 200.
- [16] C. Soldano, A. Mahmood, *Carbon*, **48**, 2010, 2127.
- [17] C.N.R. Rao, A.K. Sood, K.S. Subrahmanyam, A. Govindaraj, *Angewandte Chemie International Edition*, **48**, 2009, 7752.
- [18] D.R. Dreyer, S. Park, C.W. Bielawski, R.S. Ruoff, *Chemical Society Reviews*, **39**, 2010, 228.
- [19] Y. Zhu, S. Murali, W. Cai, X. Li, J.W. Suk, J.R. Potts, R.S. Ruoff, *Advanced Materials*, **22**, 2010, 3906.
- [20] B. Fugetsu, E. Sano, H. Yu, K. Mori, T. Tanaka, *Carbon*, **48**, 2010, 3340.
- [21] J. Molina, J. Fernandez, A.I. del Rio, J. Bonastre, F. Cases, *Applied Surface Science*, **279**, 2013, 46.
- [22] J. Molina, J. Fernandez, J.C. Ines, A.I. del Rio, J. Bonastre, F. Cases, *Electrochimica Acta*, **93**, 2013, 44.
- [23] M. Shateri-Khalilabad, M.E. Yazdanshenas, *Cellulose*, **20**, 2013, 963.
- [24] M. Shateri-Khalilabad, M.E. Yazdanshenas, *Carbohydrate Polymers*, **96**, 2013, 190.
- [25] K. Javed, C.M.A. Galib, F. Yang, C.M. Chen, C. Wang, *Synthetic Metals*, **193**, 2014, 41.
- [26] L. Qu, M. Tian, X. Hu, Y. Wang, S. Zhu, X. Guo, G. Han, X. Zhang, K. Sun, X. Tang, *Carbon*, **80**, 2014, 565.
- [27] J. Zhao, B. Deng, M. Lv, J. Li, Y. Zhang, H. Jiang, C. Peng, J. Li, J. Shi, Q. Huang, C. Fan, *Advanced Healthcare Materials*, **2**, 2013, 1259.
- [28] R. Kabiri, H. Namazi, *Cellulose*, **21**, 2014, 3527.
- [29] G. Jiang, Z. Lin, C. Chen, L. Zhu, Q. Chang, N. Wang, W. Wei, H. Tang, *Carbon*, **49**, 2011, 2693.
- [30] Y. Cong, M. Long, Z. Cui, X. Li, Z. Dong, G. Yuan, J. Zhang, *Applied Surface Science*, **282**, 2013, 400.
- [31] A.E. Chimeh, M. Montazer, A. Rashidi, *New Carbon Materials*, **28**, 2013, 313.
- [32] L. Karimi, M.E. Yazdanshenas, R. Khajavi, A. Rashidi, M. Mirjalili, *Cellulose*, **21**, 2014 3813.
- [33] L. Karimi, S. Zohoori, A. Amini, *New Carbon Materials*, **29**, 2014, 380.
- [34] H.J. Lee, J. Kim, C.H. Park, *Textile Research Journal*, **84**, 2014, 267.
- [35] W.S. Hummers, R.E. Offeman, *Journal of American Chemical Society*, **80**, 1958, 1339.
- [36] L. Karimi, S. Zohoori, M.E. Yazdanshenas, *Journal of Saudi Chemical Society*, **18**, 2014, 581.
- [37] AATCC Test Method 100-2004, Antibacterial finishes on textile materials: Assessment of AATCC Technical Manual, American Association of Textile Chemists and Colorists, Research Triangle Park, NC, 2005.
- [38] K.S. Ryong, M.K. Parvez, M. Chhowalla, *Chemical Physics Letters*, **483**, 2009, 124.

که علت آن را می‌توان جذب اشعه فرابنفش بوسیله نانوکامپوزیت در نظر گرفت [۴۷].



شکل ۸: طیف‌های عبوری UV برای پارچه‌های پنبه‌ای خام و عمل آوری شده با نانوکامپوزیت .*TiO₂/GO*

۴- نتیجه‌گیری

در پژوهش حاضر، پارچه‌های پنبه‌ای با ویژگی‌های چند منظوره همچون خود تمیزشوندگی، رسانش الکتریکی، ممانعتی در برابر اشعه فرابنفش و ضدمیکروبی، با موقیت به روش پوشش‌دهی پارچه پنبه‌ای با نانوکامپوزیت *TiO₂/GO* تولید شدند. آزمون‌های XRD, SEM, XPS و TEM وجود نانوکامپوزیت *TiO₂/GO* را در سطح پارچه پنبه‌ای تایید کردند. تصاویر نقشه X-ray نشان داد، نانوکامپوزیت گرافن اکسید/تیتانیم دیاکسید به صورت یکنواخت در سطح الیاف توزیع شده است. نتایج حاکی از این است که بکارگیری گرافن اکسید به همراه تیتانیم دیاکسید باعث بهبود ویژگی خود تمیزشوندگی پارچه‌های تکمیلی تحت تابش نور خورشید شده، ضمن آنکه خاصیت ضدمیکروبی آنها نیز مطلوب است. همچنین، تابش نور خورشید سبب احیای فتوکاتالیستی گرافن اکسید توسط تیتانیم دیاکسید و کاهش مقاومت الکتریکی پارچه‌های تکمیلی شده است. از اینرو، نانوکامپوزیت گرافن اکسید *TiO₂/GO* برای تولید پارچه‌ها با کارایی بالا و منسوجات هوشمند مناسب است.

مراجع

- [1] L. Karimi, M. Mirjalili, M.E. Yazdanshenas, A. Nazari, *Photochememistry Photobiology*, **86**, 2010, 1030.
- [2] M. Montazer, S. Morshed, *Journal of Industrial and Engineering Chemistry*, **20**, 2014, 83.
- [3] M. Ibanescu, V. Musat, T. Textor, V. Badilita, B. Mahltig, *Journal of Alloys and Compounds*, **610**, 2014, 244.

- [43] J. Sha, E. Liu, C. Shi, C. He, J. Li, *Carbon*, **68**, 2014, 352.
- [44] O. Akhavan, E. Ghaderi, *The Journal of Physical Chemistry C*, **113**, 2009, 20214.
- [45] F. Alimohammadi, M. Montazer, A. Shamei, M.K. Rahimi, *Iranian Journal of Polymer Science and Technology*, **25**, 2012, 265.
- [46] A. Nazari, M. Montazer, M.K. Rahimi, *Iranian Journal of Polymer Science and Technology*, **22**, 2009, 41.
- [47] Y.K. Kim, D.H. Min, *Nanoscale*, **5**, 2013, 3638.
- [39] J. Liu, H. Bai, Y. Wang, Z. Liu, X. Zhang, D.D. Sun, *Advanced Functional Materials*, **20**, 2010, 4175.
- [40] S. Zohoori, L. Karimi, S. Ayaziayzdi, *Journal of Industrial and Engineering Chemistry*, **20**, 2013, 2934.
- [41] S. Morales-Torres, L.M. Pastrana-Martinez, J.L. Figueiredo, J.L. Faria, A.M.T. Silva, *Applied Surface Science*, **275**, 2013, 361.
- [42] M.S.A.S. Shah, A.R. Park, K. Zhang, J.H. Park, P.J. Yoo, *ACS Applied Material & Interfaces*, **4**, 2012, 3893.